

ЭЛОНГАЦИОННОЕ ТЕЧЕНИЕ  
ГРАВИТАЦИОННО ИЗОГНУТОЙ СТРУИ  
ВЯЗКОУПРУГОЙ ЖИДКОСТИ

УДК 532.522:532.135

В. М. Шаповалов

Волгоградский государственный технический университет,  
400103 Волгоград

Продольное течение аномальных жидкостей непосредственно связано с технологией формования синтетических волокон и измерением реологических свойств [1]. Значительное число работ посвящено исследованию нетривиальных гидродинамических эффектов, сопровождающих течение прямолинейных струй [2, 3]. Впервые стационарное течение не-прямолинейной вязкоупругой струи рассмотрено в [4].

В данной работе исследуется продольное течение свободной струи в условиях поперечного действия сил собственного веса. Обнаружено новое гидродинамическое явление — бифуркация растягивающих напряжений и стационарной конфигурации струи. Исследованы динамические режимы течения. Дано объяснение механизма возникновения автоколебаний.

1. Рассмотрим основные закономерности стационарного течения. Схема течения и баланс сил, действующих на элементарный участок струи, показаны на рис. 1. Жидкость из насадка поступает с постоянной заданной скоростью  $v_0$ . Из зоны течения струя равномерно отбирается приемным устройством (валком), задающим некоторое значение продольной скорости  $v_1$ . Ось  $x$  направлена горизонтально. Точки истечения и отбора находятся на одном уровне. Начало эйлеровой системы координат помещено в сечении, где закончилась перестройка профиля. Струя и оси координат лежат в одной вертикальной плоскости. Сопротивлением трения о воздух и поверхностным натяжением жидкости пренебрегаем. Будем считать вязкие силы настолько большими, что по сравнению с ними инерционные эффекты и капиллярные силы пренебрежимо малы. На элемент струи действует сила собственного веса и реологического сопротивления.

Описание будем вести в рамках квазидномерных уравнений неразрывности и сохранения импульса:

$$\frac{\partial a^2}{\partial t} + \frac{\partial a^2 v}{\partial s} = 0, \quad \frac{\partial}{\partial s}(P \cos \varphi) = 0, \quad \frac{\partial}{\partial s}(P \sin \varphi) = \pi a^2 \rho g, \quad P = \pi a^2 \sigma_{11}. \quad (1.1)$$

Здесь  $s$  — координата, отсчитываемая вдоль оси струи;  $P$  — сила натяжения в нормальном сечении;  $a$  — текущий радиус круглой струи;  $\sigma_{11}$  — растягивающее напряжение;  $\rho$  — плотность жидкости;  $g$  — ускорение свободного падения;  $v$  — осевая скорость;  $\varphi$  — угол наклона оси струи к горизонтали.

Границные условия для стационарного течения запишем в виде

$$x = 0, \quad y = 0, \quad \varphi = \varphi_0, \quad v = v_0, \quad a = a_0; \quad x = l, \quad y = 0, \quad v = K v_0, \quad (1.2)$$

где  $l$  — длина зоны течения;  $K = v_1/v_0$  — кратность вытяжки;  $a_0$  — начальный радиус;  $\varphi_0$  — начальный угол.

Для замыкания задачи уравнения (1.1) необходимо дополнить зависимостью растягивающих напряжений от скорости деформации. Традиционно одноосной вытяжке подвергаются растворы и расплавы полимеров в изотермических и неизотермических условиях,

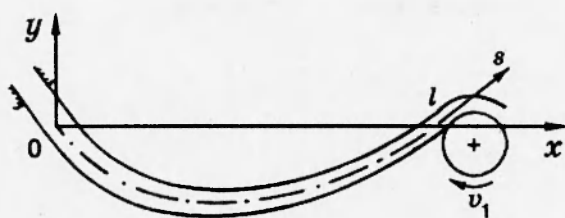


Рис. 1

однако основные закономерности рассматриваемого течения обнаруживаются уже в ньютоновском приближении. При одноосном растяжении ньютоновской жидкости напряжение определяется по формуле

$$\sigma_{11} = 3\eta \frac{\partial v}{\partial s} \quad (1.3)$$

( $\eta$  — вязкость).

Интегрируя второе уравнение в (1.1), получим  $P \cos \varphi = H(t)$ . Следовательно, горизонтальная составляющая напряжения  $H$  однородна по длине струи и может изменяться во времени только в динамических режимах. Предварительно рассмотрим случай стационарного течения, в котором вместо первого уравнения в (1.1) используем интегральное условие неразрывности  $va^2 = v_0 a_0^2$ .

Введение безразмерных переменных

$$X = \frac{x}{l}, \quad Y = \frac{y}{l}, \quad V = \frac{v}{v_0}, \quad q = \frac{Hl}{3\eta\pi a_0^2 v_0}, \quad R = \frac{\rho gl^2}{3\eta v_0} \quad (1.4)$$

позволяет записать задачу (1.1)–(1.3) для стационарных условий в форме

$$\frac{dY}{dX} = \operatorname{tg} \varphi, \quad \frac{d\varphi}{dX} = \frac{R \cos \varphi}{qV}, \quad \frac{dV}{dX} = \frac{qV}{\cos^2 \varphi}, \quad (1.5)$$

$$X = 0, \quad Y = 0, \quad \varphi = \varphi_0, \quad V = 1; \quad X = 1, \quad Y = 0, \quad V = K.$$

Использовались очевидные соотношения  $ds \cos \varphi = dx$ ,  $ds \sin \varphi = dy$ .

Решение задачи (1.5) в квадратурах имеет вид

$$X = \frac{q}{R} \int_{z_0}^z \frac{V dz}{\sqrt{1+z^2}}, \quad Y = \frac{q}{R} \int_{z_0}^z \frac{V z dz}{\sqrt{1+z^2}}, \quad z = \operatorname{tg} \varphi, \quad z_0 = \operatorname{tg} \varphi_0, \\ \frac{2R}{q^2} (1 - V^{-1}) = z \sqrt{1+z^2} - z_0 \sqrt{1+z_0^2} + \operatorname{Arsh} z - \operatorname{Arsh} z_0.$$

Анализ задачи (1.5) выполнен методом Рунге — Кутта четвертого порядка. Для заданных  $R$  и  $q$  варьированием параметра  $\varphi_0$  выполнялись условия в точке отбора  $X = 1$ ,  $Y = 0$  (метод стрельбы). При этом определялась кратность вытяжки  $K = V(X = 1)$ .

Результаты анализа представлены на рис. 2. Для гравитационного параметра  $R = 0$ ; 5; 10; 20; 40 (кривые 1–5 соответственно) показаны зависимости безразмерного напряжения ( $a$ ) и провисания средней части струи  $Y_m = Y(X = 0,5)$  от кратности ( $b$ ). Видно, что фиксированным  $K$  и  $R$  отвечают два значения тянувшего усилия  $q$  и два существенно различающихся значения провисания. Снижение кратности (уменьшение скорости от-

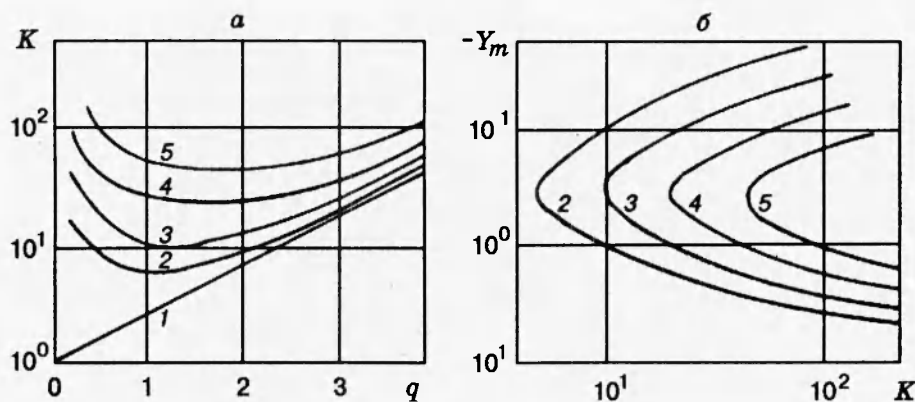


Рис. 2

Режим	Изменение параметров течения			
	$-Y_m$	$dK/dq$	$d Y_m /dR$	$d Y_m /dK$
Докритический	$\leq 0,35$	$> 0$	$> 0$	$< 0$
Критический	$\approx 0,35$	0	0	0
Закритический	$\geq 0,35$	$< 0$	$< 0$	$> 0$

бора) приводит к сближению указанных значений  $q$  и  $Y_m$  вплоть до точки вырождения бифуркации, ниже которой стационарное течение невозможно. Критическим кратностям практически независимо от  $R$  соответствуют провисания  $Y_m \approx -0,35$ . Течения с малыми провисаниями ( $Y_m \geq -0,35$ ) названы докритическими, а с большими — закритическими. Линия  $R = 0$  описывается уравнениями  $K = \exp(q)$  и  $Y_m = 0$ .

Отмеченные режимы течения существенно отличаются по реакции на изменение параметров течения, что иллюстрируется таблицей. Так, увеличение скорости отбора в докритическом течении уменьшает провисание, а в закритическом увеличивает. Рост ускорения свободного падения или длины зоны течения в докритическом течении увеличивает провисание, а в закритическом уменьшает.

Явление бифуркации удалось наблюдать на технологической установке горизонтального формования плоской полимерной пленки из расплава полипропилена. Схема течения была подобна представленной на рис. 1. Традиционно процесс формования ведется с малыми провисаниями струи (докритический режим). Увеличением длины зоны течения (путем горизонтального перемещения отборного устройства) струя плавно была переведена в критический режим, что проявилось в прогрессирующем ее перемещении вниз. При восстановлении первоначальной длины зоны течения струя не вернулась в первоначальное положение, а осталась в области больших (закритических) провисаний, сохраняя устойчивость течения. Для высоковязких жидкостей (раствор полизобутилена, патока) в лабораторных условиях получено подтверждение существования критических кратностей вытяжки и провисаний. Устойчивое закритическое течение в изотермических условиях реализовать не удалось, ввиду низкой прочности струи в точке отбора.

2. Для сравнительной оценки устойчивостей обнаруженных течений исследованы динамические режимы при нанесении возмущений различной величины. Для замыкания за-

дачи (1.1) используем реологическое уравнение обобщенной жидкости Максвелла [5]:

$$\tau + \lambda \frac{D_0 \tau}{D_0 t} = 2\eta d.$$

Здесь  $\lambda$  — время релаксации;  $d$  — тензор скоростей деформации;  $\tau$  — девиатор тензора напряжений;  $D_0/D_0 t$  — конвективная производная по Олдройду. Ньютоновской жидкости отвечает  $\lambda = 0$ .

Вычисления выполнялись для случая верхней конвективной производной. В условиях одноосного растяжения осевые напряжения описываются уравнением

$$\sigma_{11} \left( 1 - 2\lambda \frac{\partial v}{\partial s} \right) + \lambda v \frac{\partial \sigma_{11}}{\partial s} = 3\eta \frac{\partial v}{\partial s}. \quad (2.1)$$

Начальные и граничные условия для уравнений (1.1), (2.1) следующие:

$$\begin{aligned} t = 0 : \quad a &= a_*(x), \quad v = v_*(x), \quad y = y_*(x), \\ t > 0 : \quad x &= 0, \quad v = v_0, \quad y = 0, \quad a = a_0, \\ t > 0 : \quad x &= l, \quad v = Kv_0, \quad y = 0. \end{aligned} \quad (2.2)$$

В (2.2) и ниже звездочкой помечены переменные и параметры, соответствующие стационарному течению.

Стационарное течение вязкоупругой струи описывается системой уравнений

$$\begin{aligned} \frac{dY_*}{dX} &= \operatorname{sh} \xi_*, \quad \frac{d\xi_*}{dX} = \frac{R}{qV_*}, \quad \frac{dV_*}{dX} = \frac{V_*(q_* \operatorname{ch}^2 \xi_* + \operatorname{We} R \operatorname{sh} \xi_*)}{1 + \operatorname{We} q_* V_* \operatorname{ch} \xi_*}, \quad r_*^2 V_* = 1, \\ X = 0, \quad Y_* &= 0, \quad V_* = 1, \quad \xi_* = \xi_{*0}; \quad X = 1, \quad Y_* = 0, \quad V_* = K, \end{aligned} \quad (2.3)$$

где  $\tau = tv_0/l$ ;  $r = a/a_0$ ;  $\operatorname{We} = \lambda v_0/l$ .

Задача нестационарного течения решалась численно; линеаризация не проводилась. Вначале находилось стационарное решение (2.3). Нестационарное решение представлялось в виде

$$r = r_*(X)[1 + \alpha(X, \tau)], \quad V = V_*(X)[1 + \beta(X, \tau)], \quad Y = Y_*(X) + \gamma(X, \tau). \quad (2.4)$$

Из уравнений (1.1), (2.1) с учетом (1.4), (2.3), (2.4) получим уравнения для отклонений:

$$\begin{aligned} \frac{\partial \alpha}{\partial \tau} + \bar{F}_1 \frac{\partial \alpha}{\partial X} &= \bar{F}_2, \quad \frac{\partial \beta}{\partial X} = \bar{F}_3, \quad \frac{\partial \gamma}{\partial X} = \operatorname{sh} \zeta - \operatorname{sh} \xi_*, \quad \frac{\partial \zeta}{\partial X} = \frac{R(1 + \alpha)^2}{qV_*}, \\ F_1 &= \frac{1}{\operatorname{ch} \zeta} V_*(1 + \beta), \quad F_2 = -\frac{1}{2\operatorname{ch} \zeta} V_*(1 + \alpha) F_3, \\ F_3 &= \frac{q \operatorname{ch}^2 \zeta + \operatorname{We} R \operatorname{sh} \zeta}{(1 + \alpha)^2 + \operatorname{We} q_* V_* \operatorname{ch} \zeta} - \frac{(1 + \beta)}{1 + \operatorname{We} q_* V_* \operatorname{ch} \xi_*} \frac{q_* \operatorname{ch}^2 \xi_* + \operatorname{We} R \operatorname{sh} \xi_*}{1 + \operatorname{We} q_* V_* \operatorname{ch} \xi_*}. \end{aligned} \quad (2.5)$$

Условия для отклонений в случае возмущения начального радиуса или скорости запишем в виде

$$\begin{aligned} \tau = 0 : \quad \alpha &= \beta = \gamma = 0, \quad \zeta = \xi_*(X), \\ \tau > 0 : \quad X &= 0, \quad \alpha = \alpha_0, \quad \beta = \beta_0, \quad \gamma = 0, \quad \zeta = \zeta_0(\tau), \\ \tau > 0 : \quad X &= 1, \quad \beta = \gamma = 0. \end{aligned} \quad (2.6)$$

Динамические режимы идентичны при возмущениях скорости в начальном или конечном сечении [6]. Тянувшие усилия  $q_*$  и  $q(\tau)$  однородны по длине струи.

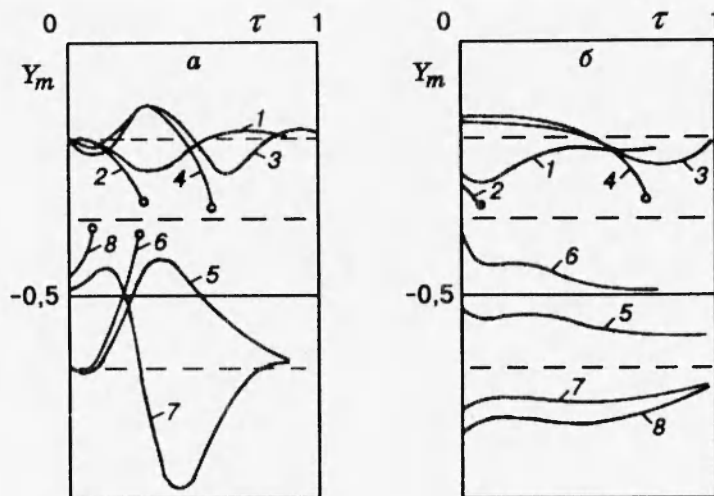


Рис. 3

В пределах каждого «временного слоя» уравнения для  $\beta$ ,  $\gamma$ ,  $\zeta$  решались методом Рунге — Кутта четвертого порядка, поскольку имеем задачу Коши для системы трех уравнений первого порядка. Параметры  $q$  и  $\zeta_0$  подбирались исходя из условий отбора  $\beta(X = 1, q, \zeta_0) = 0$ ,  $\gamma(X = 1, q, \zeta_0) = 0$ , которые рассматривались как система трансцендентных уравнений. Корни находились по алгоритму секущих — хорд. Для дискретизации одномерного уравнения конвективного переноса использовалась конечно-элементная схема Кранка — Николсона [7]. Порядок аппроксимации  $O(\Delta\tau^2, \Delta X^4)$ , реализация — трехточечная прогонка. Здесь  $\Delta\tau$  и  $\Delta X$  — шаг по времени и по  $X$ .

Рассмотрены динамические режимы вязкой жидкости ( $We = 0$ ) для стационарных течений с близкой кратностью вытяжки и идентичным гравитационным параметром  $R = 5$ : докритическое течение для  $q_* = 1,5$ ,  $\xi_*(X = 0) = -0,928$ ,  $Y_{*m} = -0,181$ ,  $K = 5,98$ , закритическое для  $q_* = 0,5$ ,  $\xi_*(X = 0) = -2,252$ ,  $Y_{*m} = -0,628$ ,  $K = 5,76$ . Значению  $R = 5$  отвечает критический режим с  $q_* = 0,922$ ,  $\xi_*(X = 0) = -1,49$ ,  $Y_{*m} = -0,341$ ,  $K = 4,74$ .

На рис. 3 представлена кинетика перемещения средней части струи  $Y_m = Y_{*m}(1 + \gamma_m)$  ( $\gamma_m = \gamma(X = 0,5)$ ,  $Y_{*m} = Y_*(X = 0,5)$ ) при ступенчатых возмущениях начального радиуса для  $\alpha_0 \neq 0$ ,  $\beta_0 = 0$  (a) и начальной скорости для  $\alpha_0 = 0$ ,  $\beta_0 \neq 0$  (b). На рис. 3, a кривые 1–8 отвечают  $\alpha_0 = 0,2; 0,25; -0,5; -0,6; 0,5; 0,6; -0,55; -0,7$ , на рис. 3, b кривые 1–8 соответствуют  $\beta_0 = 0,8; 0,85; -0,6; -0,7; 0,6; 1,1; -0,6; -0,95$ , а кружки — потере устойчивости. Видно, что непосредственно перед потерей устойчивости струя перемещается в область критических провисаний (линии 2, 4, 6, 8 на рис. 3, a и 2, 4 на рис. 3, b).

В докритическом течении при возмущениях радиуса по длине струи распространяются быстро затухающие продольные волны сужения и разбухания. При  $\alpha_0 > 0$  начинается сужение струи в окрестности точки отбора, провисание увеличивается. Именно в период сужения конечного сечения для  $\alpha_0 \geq 0,25$ ,  $\tau \approx 0,2$  наступает потеря устойчивости. При  $\alpha_0 < 0$  потеря устойчивости возможна в период  $\tau \approx 0,6$  за счет сужения выходного сечения струи. В первые же периоды имеет место увеличение выходного сечения.

При возмущениях начального радиуса вертикальные отклонения струи (от положения статического равновесия) в закритическом течении больше, чем в докритическом. Также увеличивается длительность переходных процессов ввиду большей протяженности струи. При  $\alpha_0 \geq 0,6$  потеря устойчивости наступает в момент  $\tau \approx 0,27$  и обусловлена прогрессирующим утонением струи в окрестности  $X \approx 0,8$ . При  $\alpha_0 \leq -0,7$  потеря устойчивости

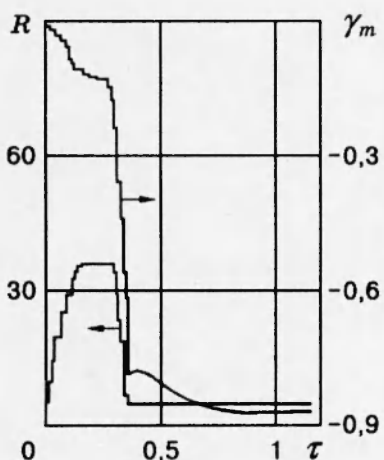


Рис. 4

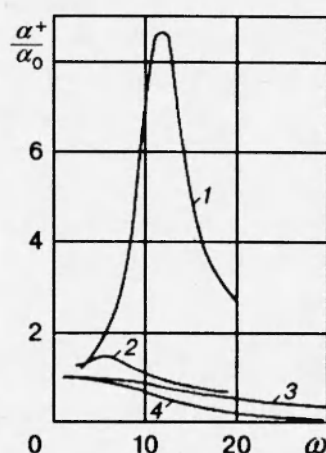


Рис. 5

обусловлена деформациями растяжения в окрестности начального сечения. По окончании переходных процессов для нового стационарного течения характерны следующие соотношения:  $\alpha = \alpha_0$ ,  $\beta = \gamma = 0$ ,  $\partial\alpha/\partial\tau = 0$ ,  $\partial\alpha/\partial X = 0$ ,  $\zeta = \xi_*$ ,  $q = q_*(1 + \alpha_0)^2$ .

В случае возмущения начальной скорости ступенчато изменяется натяжение и провисание струи. Распределение возмущений скорости близко к линейному и мало изменяется в переходном процессе. Закритическое течение весьма устойчиво к отрицательным возмущениям скорости: течение сохранялось и при  $\beta_0 = -0,95$ .

Даже малые возмущения радиуса или скорости в критическом течении ( $\alpha_0 \approx \beta_0 \approx \pm 0,01$ ) приводят к быстрой потере устойчивости разностной схемы на первых шагах по времени.

Таким образом, докритический и закритический режимы сопоставимы по устойчивости к возмущениям в начальном сечении.

Аналогичный анализ выполнен для вязкоупругой жидкости. В докритическом режиме возмущения вызывают незначительное вертикальное смещение струи. Устойчивость течения существенно повышается. В целом значительно усиливаются «демпфирующие» свойства системы, которые проявляются в снижении размаха колебаний средней части струи и в быстром затухании переходных процессов. Однако в закритическом режиме при  $\alpha_0 < -0,2$  в струе возникают автоколебания, приводящие к потере устойчивости.

Для вязкоупругой жидкости проведен вычислительный эксперимент по переходу докритического течения в закритическое путем изменения параметра  $R$ , что эквивалентно изменению длины зоны течения. Стационарное докритическое течение имело следующие характеристики:  $R = 5$ ,  $We = 0,1$ ,  $q_* = 15$ ,  $K = 9,5$ ,  $\xi_{*0} = -0,0644$ ,  $Y_{*m} = -0,0985$ . Программа изменения параметра  $R$  и провисаний средней части струи показана на рис. 4. Изменение  $R$  выполнялось ступенчато в диалоговом режиме через два шага по времени. Начальный шаг по  $R$  составлял 5, но при подходе к критическим провисаниям шаг постепенно уменьшался до 0,02 (на рисунке горизонтальное плато при  $0,15 < \tau < 0,3$ ). Критическим провисаниям отвечает  $R = 37,5$ . Момент перехода течения в закритический режим определялся по характеру изменения провисания от  $R$  (см. таблицу). После перехода гравитационный параметр снижался до 5. При этом провисание увеличивалось, приближаясь к стационарному закритическому.

При увеличении  $R$  в докритическом течении струя перемещается вниз, ее сечение в средней части увеличивается, соответственно начальное и конечное сечения уменьшаются.

Далее, на плато  $R \approx 37,5$  волна разбухания перемещается к точке отбора. Именно «упрочнение» выходного сечения делает возможным последующий переход в закритическое течение и предотвращает обрыв струи. Последнее обуславливает трудности в реализации перехода для ньютоновской жидкости.

Таким образом, явление бифуркации не противоречит принципу единственности решения уравнений Навье — Стокса [8], поскольку режим течения однозначно зависит от организации процесса (последовательности операций), т. е. от начальных условий.

Численно исследовано влияние упругих свойств на амплитудно-частотную характеристику системы. В случае гармонических возмущений начального радиуса граничными условиями для (2.5) будут  $X = 0$ ,  $\alpha = \alpha_0 \sin \omega t$ ,  $\beta = \gamma = 0$ ,  $\zeta = \zeta_0$ ;  $X = 1$ ,  $\beta = \gamma = 0$ , где  $\omega = \omega^0 i/v_0$ ;  $\omega^0$  — частота.

Рассмотрена область умеренных частот в окрестности обратного времени пребывания жидкой частицы в зоне деформации. Амплитуда возмущений  $\alpha_0 \leq 0,1$ . Контролировалась амплитуда колебаний выходного радиуса после установления режима колебаний  $\alpha^+$ . Исследованы докритические и закритические режимы для вязкой ( $K = 5,98$ ,  $R = 5$ ) и вязкоупругой ( $K = 9,5$ ,  $R = 5$ ,  $We = 0,1$ ) жидкостей.

На рис. 5 представлены амплитудно-частотные характеристики. По оси ординат отложен коэффициент усиления  $\alpha^+/\alpha_0$ . Линии 1, 2 отвечают докритическому и закритическому течению вязкой жидкости, а 3, 4 — докритическому и закритическому течению вязкоупругой жидкости.

В докритическом течении вязкой жидкости зависимость носит ярко выраженный резонансный характер. Причем в резонансной области зависимость  $\alpha(X = 1, \tau)$  имела пикообразные максимумы, подобные описанным в [9]. Вертикальные колебания средней части струи также носили резонансный характер. В закритическом течении усиливаются «демпфирующие» свойства струи и снижается собственная частота. Имеют место значительные вертикальные колебания средней части струи также резонансного характера. Вязкоупругая жидкость обладает ярко выраженными «демпфирующими» свойствами, и усиление возмущений существенно уменьшается на всех умеренных частотах в обоих режимах. Численное исследование коротковолновых возмущений ( $\omega \gg 1$ ) не имеет смысла вследствие использования уравнений длинноволнового приближения.

Проанализировано влияние непрямолинейности струи на «резонанс при вытягивании». Известно, что для прямолинейных струй вязкой жидкости автоколебания конечного радиуса с возрастающей амплитудой наступают при  $K > 20, 22$  [10, 11]. В [10] отмечалось, что конечно-разностная аппроксимация для прямолинейных струй дает завышенное критическое значение кратности. Поэтому представленные ниже результаты оставляют возможность лишь качественной оценки влияния условий течения на возникновение автоколебаний.

Для вязкой жидкости ( $We = 0$ ) давалось ступенчатое возмущение начальной скорости  $\beta_0 = 0,05$ ,  $\alpha_0 = 0$  в (2.6). При фиксированном  $R$  с увеличением  $q_*$  (при этом кратность определялась в результате решения стационарной задачи (2.3)) отмечался момент возникновения в системе автоколебаний выходного радиуса возрастающей амплитуды. В случае малого влияния гравитации ( $R = 1$ ,  $Y_{*m} = -0,0034$ ) при  $q_* < 4,9$  ( $K < 134$ ) происходило затухание колебаний, а при  $q_* > 4,9$  ( $K > 134$ ) устанавливались автоколебания синусоидальной формы возрастающей амплитуды. Имеет место нормальная бифуркация рождения цикла. С увеличением прогиба струи в пределах докритических провисаний ( $R = 20$ ,  $Y_{*m} = -0,058$ ) автоколебания с возрастающей амплитудой возникали при  $q_* > 5,05$  ( $K > 183$ ). Увеличение гравитационного параметра  $R$  от 1 до 20 равносильно росту длины зоны течения в  $\sqrt{20}$  раз. Таким образом, небольшой прогиб вытягиваемой струи повышает ее устойчивость к возникновению автоколебаний. С увеличением  $R$  значение  $q_*$ ,

соответствующее моменту возникновения автоколебаний, возрастает несущественно.

При фиксированном  $R$  в широком интервале провисаний исследована склонность продольного течения к возникновению автоколебаний. Согласно рис. 2, стационарное провисание однозначно определяется  $q_*$ . Как было отмечено выше, автоколебания возникают при малых провисаниях (сравнительно больших  $K$  и  $q_*$ ). С увеличением провисаний автоколебания появляются в окрестности критического режима течения  $Y_* \approx -0,3$  (параметрический резонанс). В закритическом режиме автоколебания не обнаружены. С ростом провисаний характер изменения выходного радиуса постепенно переходил от колебательного к апериодически затухающему. Следовательно, неустойчивость течения в критических провисаниях обусловлена возникновением в струе автоколебаний возрастающей амплитуды. Это обстоятельство обуславливает трудность перехода течения от докритического к закритическому.

В рассматриваемом течении самопроизвольное нарастание интенсивности колебаний обусловлено дополнительным подводом энергии в струю. Возникновение автоколебаний с возрастающей амплитудой характерно для систем с обратной связью [12]. Информация об изменяющемся радиусе на выходе возвращается в зону течения в виде изменяющегося во времени и однородного по длине (игнорируются капиллярные и инерционные силы) тянувшего усилия. Пульсации тянувшего усилия оказывают модулирующее воздействие на динамические процессы в струе. При изотермическом течении вязкой жидкости градиент скорости деформации в точке отбора принимает наибольшее значение, а тянувшее усилие определяется  $\pi a^2 \eta dv/ds$ . Неизотермичность, дилатансия и упругие свойства снижают градиент скорости растяжения в конечном сечении, и область устойчивого течения расширяется. Обратная связь по растягивающему напряжению снимается в случае режима вытяжки с постоянным тянувшим усилием, и «резонанс при вытягивании» не возникает [2].

Автор выражает признательность В. М. Ентову за внимание к работе.

## ЛИТЕРАТУРА

1. Зябецкий А. Теоретические основы формования волокон. М.: Химия, 1979.
2. Ентов В. М., Ярин А. Л. Динамика свободных струй и пленок вязких и реологически сложных жидкостей // Итоги науки и техники. Механика жидкости и газа. М.: ВИНИТИ, 1984. Т. 18. С. 112–197.
3. Шульман З. П., Хусид Б. М. Нестационарные процессы конвективного переноса в наследственных средах. Минск: Наука и техника, 1983.
4. Ентов В. М., Махкамов С. М., Мукук К. В. Об одном эффекте нормальных напряжений // Инж.-физ. журн. 1978. Т. 34, № 3. С. 514–518.
5. Астарита Дж., Марруччи Дж. Основы гидромеханики неньютоновских жидкостей. М: Мир, 1978.
6. Колпащиков В. Л., Мартыненко О. Г., Шнип А. И. Динамическая модель реакции процесса вытяжки стекловолокна на возмущающие воздействия // Инж.-физ. журн. 1984. Т. 47, № 5. С. 817–822.
7. Флетчер К. Вычислительные методы в динамике жидкостей. Т. 1. М.: Мир, 1991.
8. Джозеф Д. Устойчивость движений жидкости. М.: Мир, 1981.
9. Ярин А. Л. Влияние теплоотвода на нестационарные режимы формования волокон // Инж.-физ. журн. 1986. Т. 50, № 5. С. 810–818.
10. Ярин А. Л. О возникновении автоколебаний при формировании волокон // Прикл. математика и механика. 1983. Т. 47, вып. 1. С. 82–88.

11. Берман В. С., Ярин А. Л. Динамические режимы формования волокон // Изв. АН СССР. МЖГ. 1983. № 6. С. 31–37.
12. Винер Н. Кибернетика. М.: Сов. радио, 1958.

*Поступила в редакцию 9/III 1995 г.*

---